

Model:

$$\frac{dx_1(t)}{dt} = -\frac{T_1 + T_2}{T_1 T_2} x_1(t) + x_2(t)$$

$$\frac{dx_2(t)}{dt} = -\frac{1}{T_1 T_2} x_1(t) + \frac{K}{T_1 T_2} (\alpha_1 u(t) + \alpha_2 u^2(t) + \alpha_3 u^3(t) + \alpha_4 u^4(t))$$

$$y(t) = x_1(t)$$

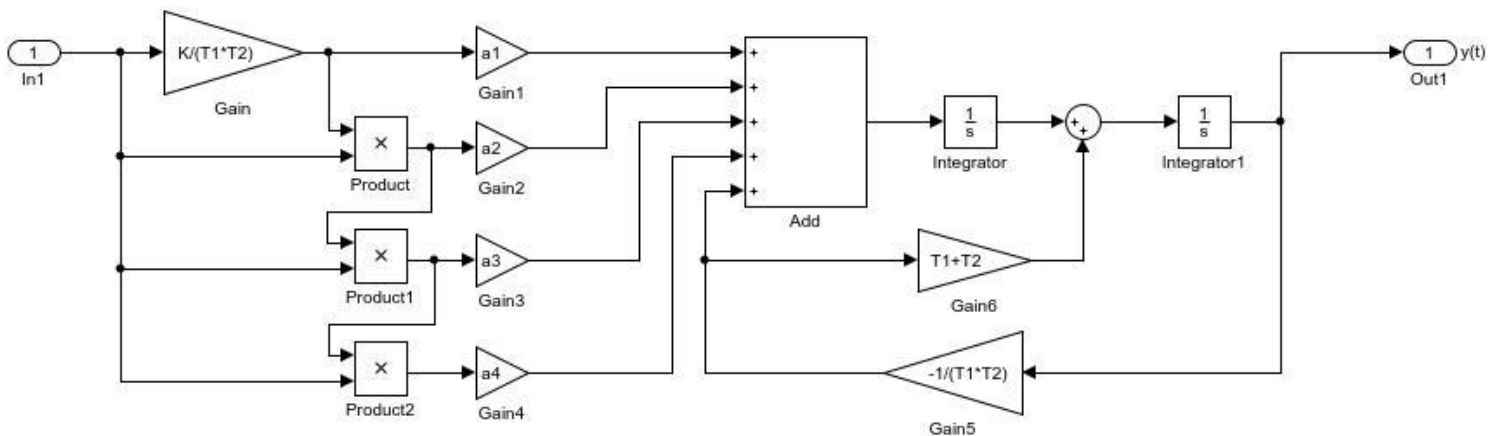
gdzie dane jest:

$$K = 3.5, \quad T_1 = 4, \quad T_2 = 8,$$

$$\alpha_1 = 0.56, \quad \alpha_2 = -0.8, \quad \alpha_3 = 0.35, \quad \alpha_4 = 0.2$$

1.

projekt1_1;



2.

Dyskretyzację przeprowadzamy metodą Eulera poprzez aproksymację prostokątną wstecz:

$$\frac{x_1(k) - x_1(k-1)}{T_p} = -\frac{T_1 + T_2}{T_1 T_2} x_1(k-1) + x_2(k-1)$$

$$\frac{x_2(k) - x_2(k-1)}{T_p} = -\frac{1}{T_1 T_2} x_1(k-1) +$$

$$\frac{K}{T_1 T_2} (\alpha_1 u(k-1) + \alpha_2 u^2(k-1) + \alpha_3 u^3(k-1) + \alpha_4 u^4(k-1))$$

$$y(k) = x_1(k)$$

Co ostatecznie daje:

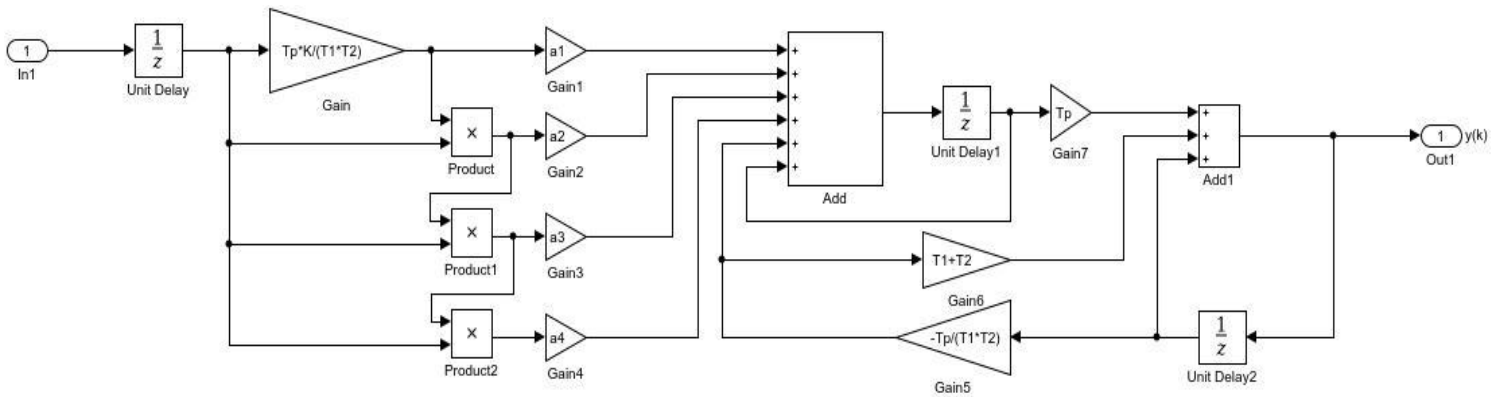
$$x_1(k) = -\frac{T_p(T_1 + T_2)}{T_1 T_2} x_1(k-1) + x_1(k-1) + T_p x_2(k-1)$$

$$x_2(k) = -\frac{T_p}{T_1 T_2} x_1(k-1) + x_2(k-1) +$$

$$\frac{T_p K}{T_1 T_2} (\alpha_1 u(k-1) + \alpha_2 u^2(k-1) + \alpha_3 u^3(k-1) + \alpha_4 u^4(k-1))$$

$$y(k) = x_1(k)$$

projekt1_2;

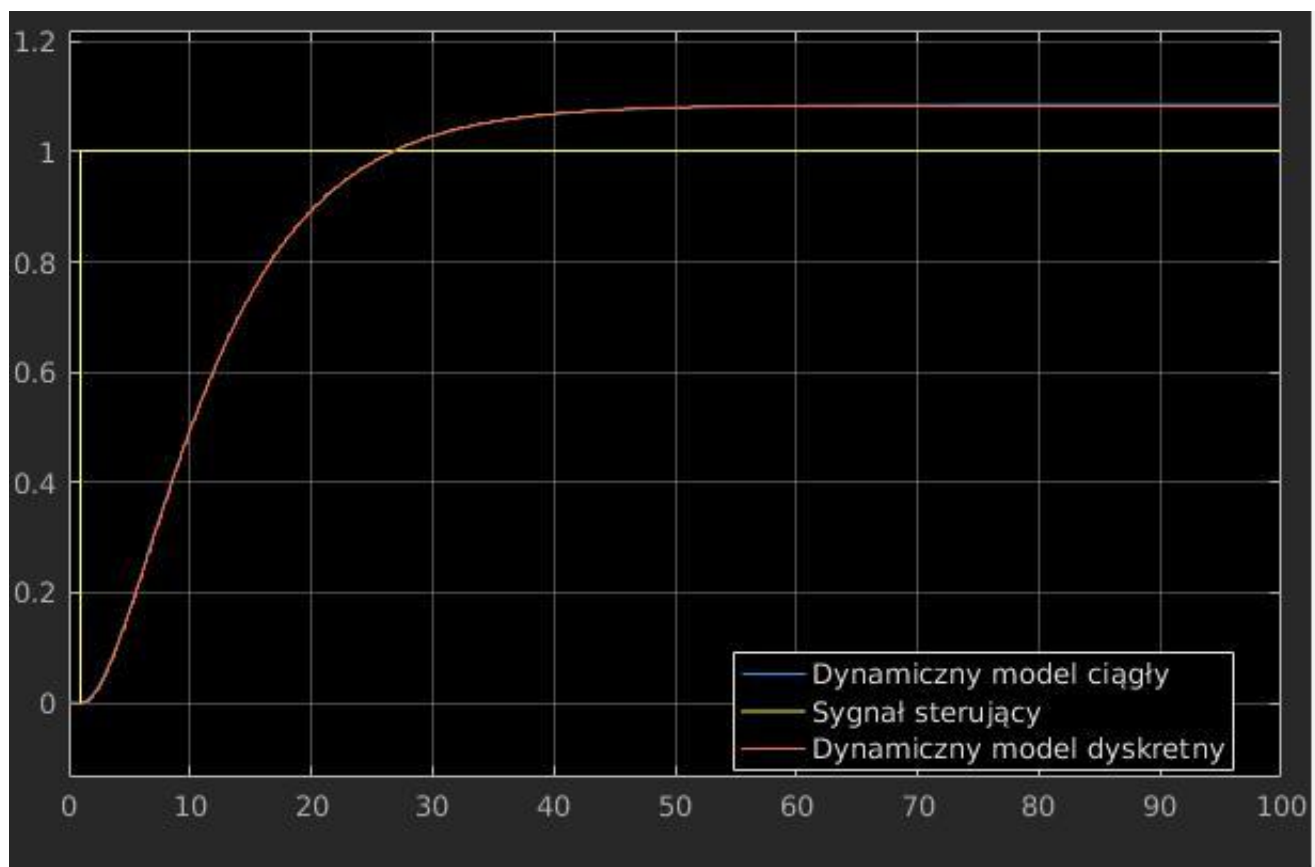


3.

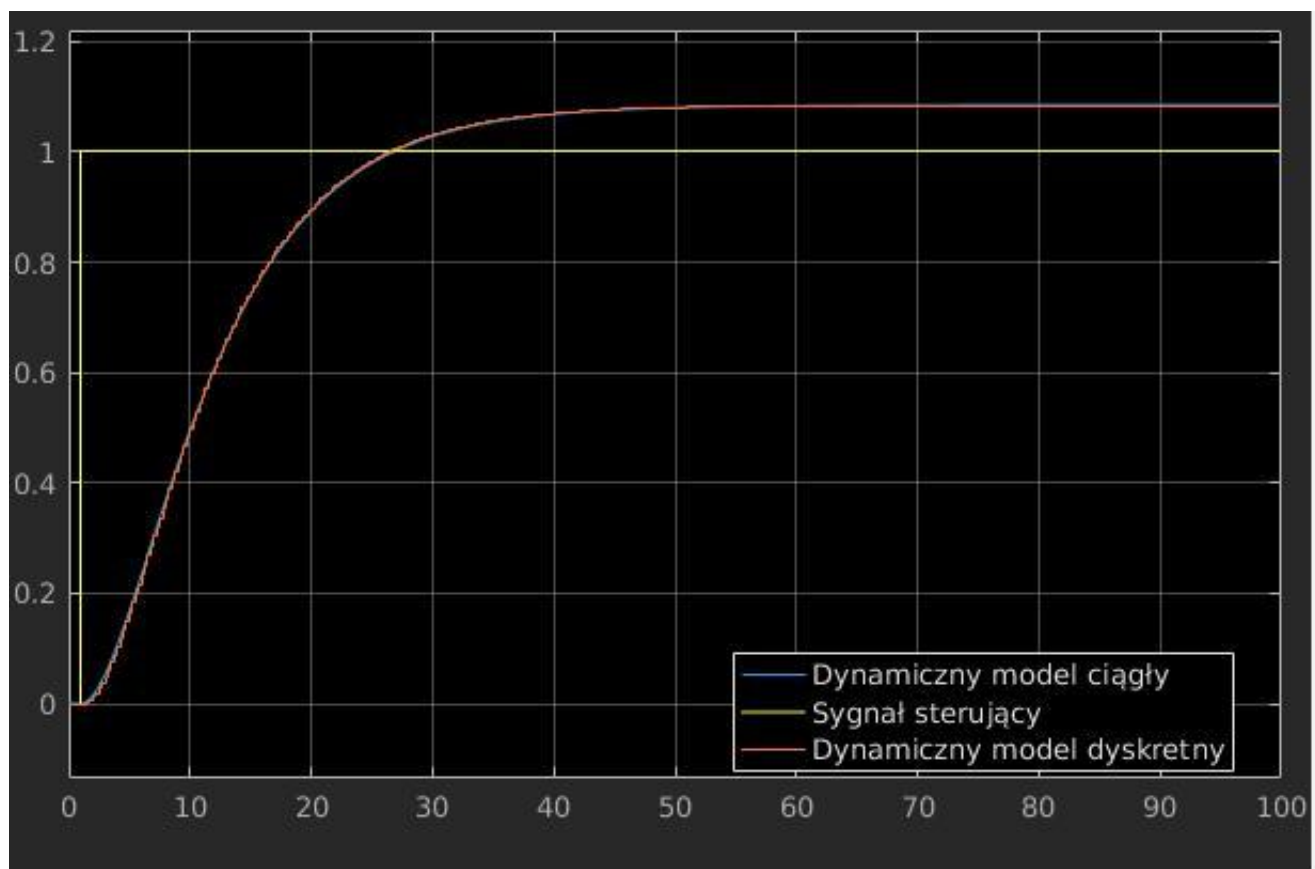
Sygnal sterujący - skok jednostkowy: $u(0) = 0$, $u(1) = 1$.

Odpowiedzi na sygnał sterujący modelu ciągłego i dyskretnego dla podanych okresów próbkowania:

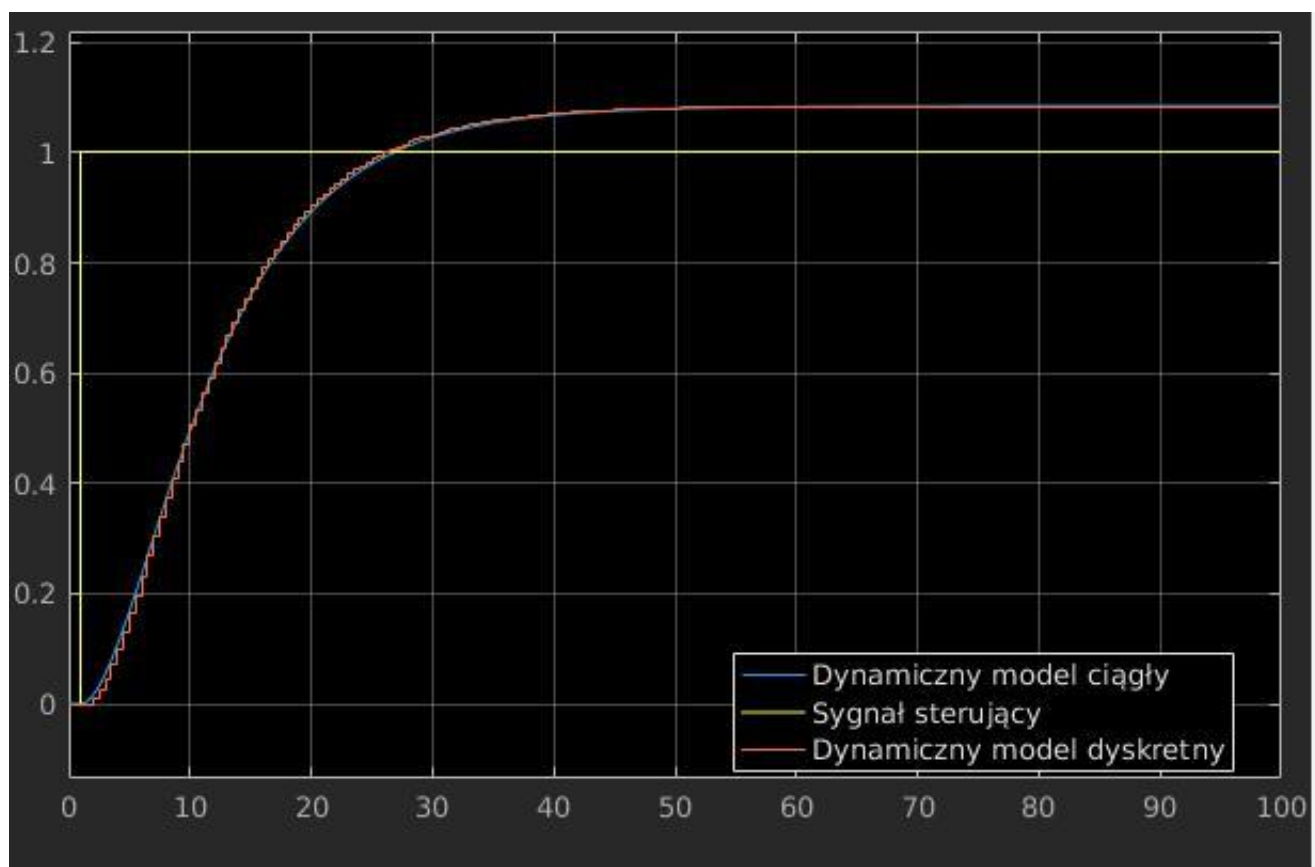
$$T_p = 0.10$$



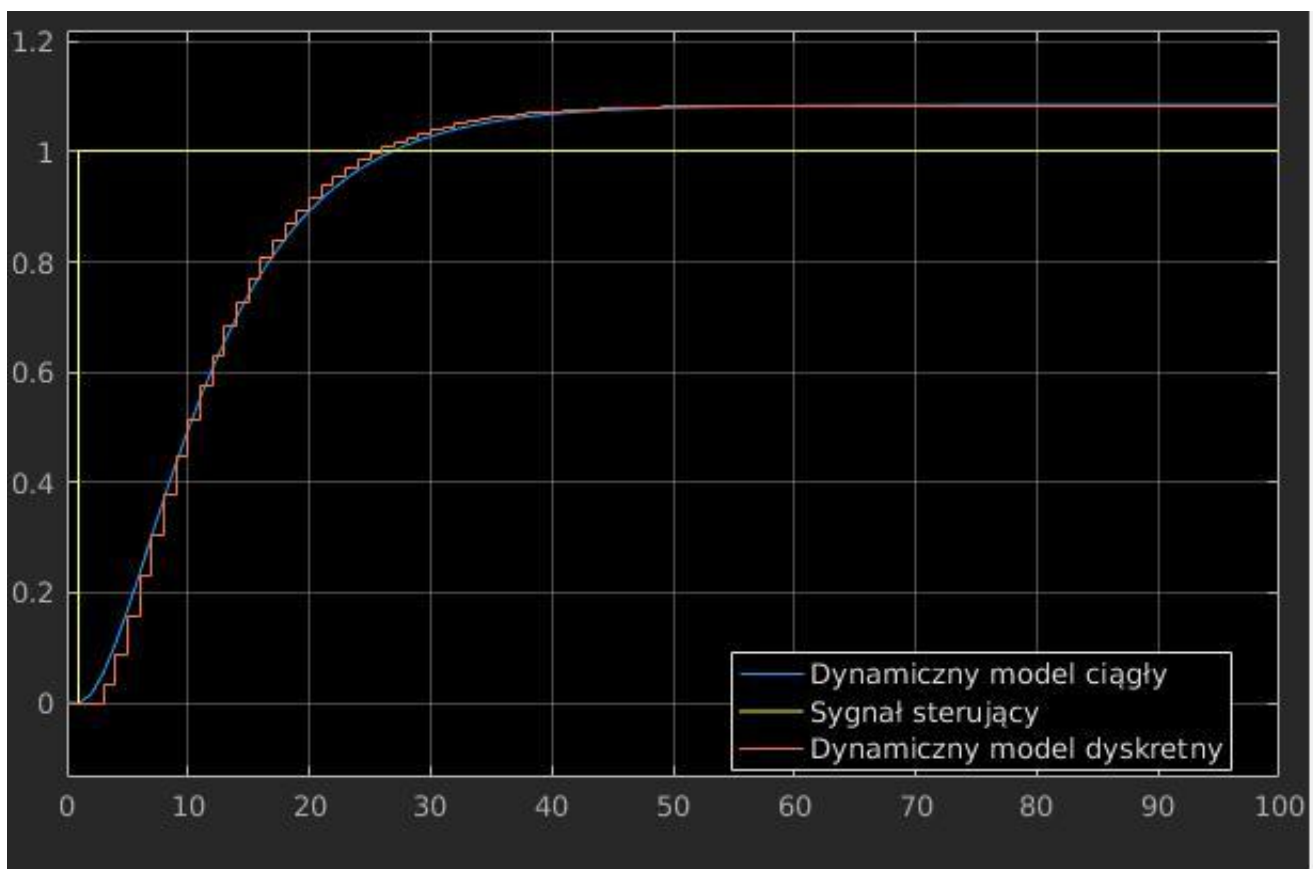
$$T_p = 0.25$$



$$T_p = 0.50$$



$$T_p = 1.00$$



$$T_p = 2.00$$



Wyznaczamy charakterystykę statyczną na podstawie modelu ciągłego:

$$\frac{dx_1(t)}{dt} = -\frac{T_1 + T_2}{T_1 T_2} x_1(t) + x_2(t)$$

$$\frac{dx_2(t)}{dt} = -\frac{1}{T_1 T_2} x_1(t) + \frac{K}{T_1 T_2} (\alpha_1 u(t) + \alpha_2 u^2(t) + \alpha_3 u^3(t) + \alpha_4 u^4(t))$$

$$y(t) = x_1(t)$$

Aby otrzymać charakterystykę dokonujemy podstawienia:

$$t = \text{const} \quad \text{stąd} \quad \frac{dx}{dt} = 0 \quad u(t) = u$$

$$0 = -\frac{T_1 + T_2}{T_1 T_2} x_1 + x_2$$

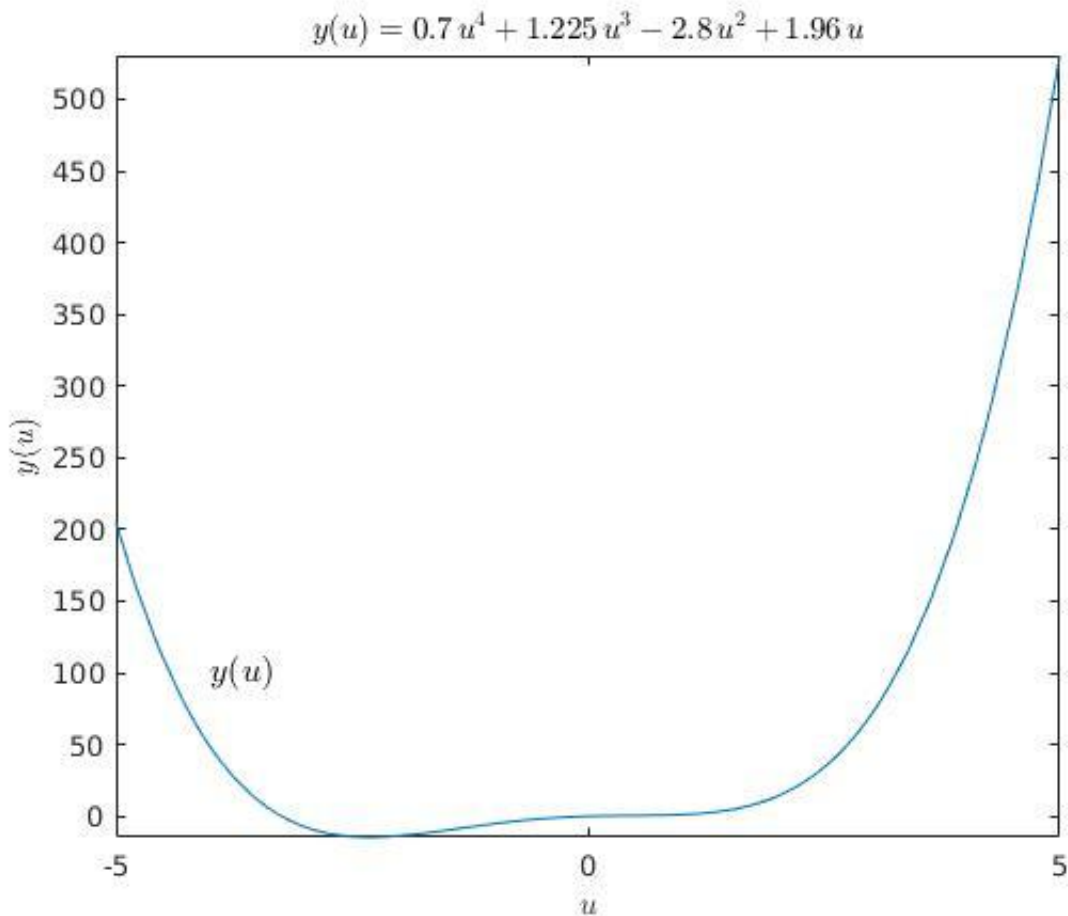
$$0 = -\frac{1}{T_1 T_2} x_1 + \frac{K}{T_1 T_2} (\alpha_1 u + \alpha_2 u^2 + \alpha_3 u^3 + \alpha_4 u^4)$$

$$y(u) = x_1$$

Po przekształceniach otrzymujemy:

$$y(u) = K (\alpha_1 u + \alpha_2 u^2 + \alpha_3 u^3 + \alpha_4 u^4)$$

Wykres:



5.

Aby zlinearyzować charakterystykę statyczną względem dowolnego punktu \bar{u} :

$$y_l(u) = y(\bar{u}) + \left. \frac{dy(u)}{du} \right|_{u=\bar{u}} (u - \bar{u})$$

Skąd otrzymujemy:

$$y_l(u) = K \left(\alpha_1 \bar{u} + \alpha_2 \bar{u}^2 + \alpha_3 \bar{u}^3 + \alpha_4 \bar{u}^4 \right) + K \left(\alpha_1 + 2\alpha_2 \bar{u} + 3\alpha_3 \bar{u}^2 + 4\alpha_4 \bar{u}^3 \right) (u - \bar{u})$$

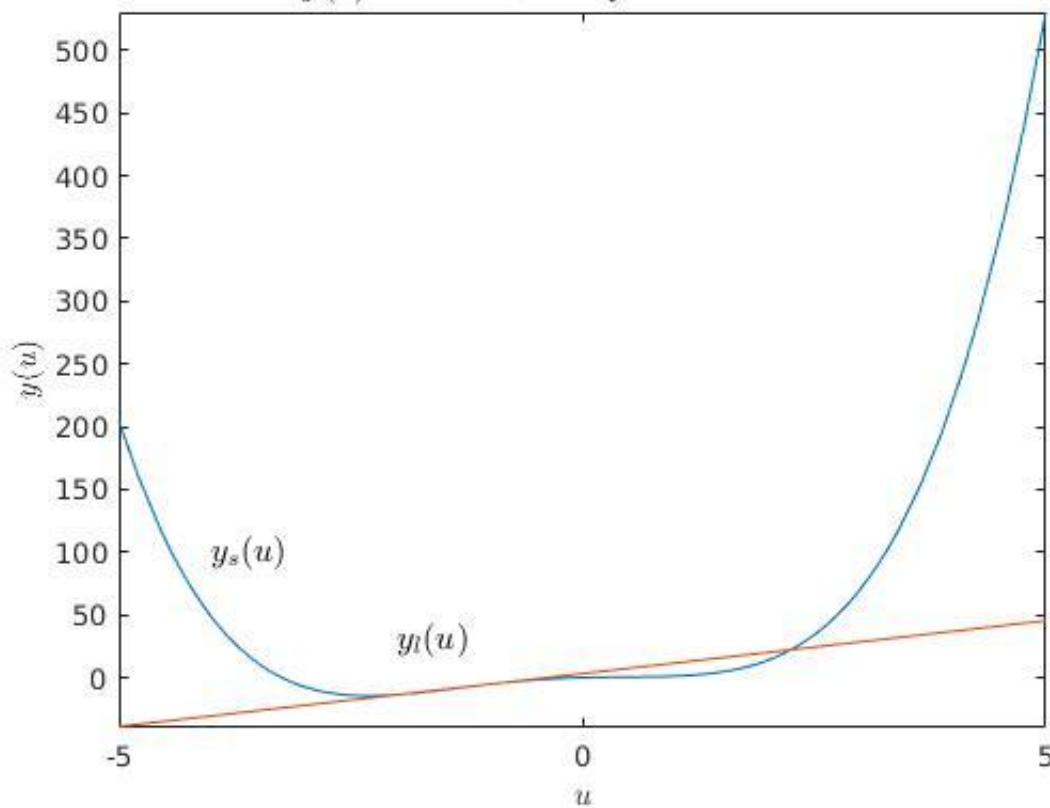
gdzie \bar{u} to punkt linearyzacji.

6.

Porównanie charakterystyk dla: $\bar{u} = \{-1, 0, 0.5\}$

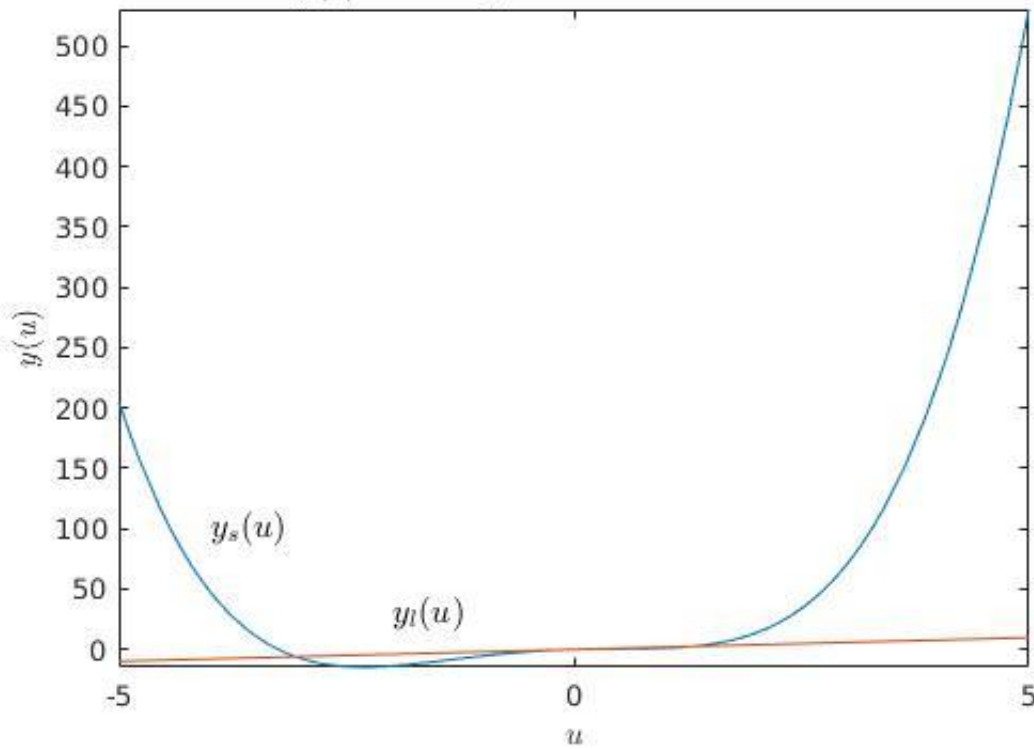
$$y_s(u) = 0.7u^4 + 1.225u^3 - 2.8u^2 + 1.96u$$

$$y_l(u) = 8.435u + 3.15 \text{ for } \bar{u} = -1.0$$



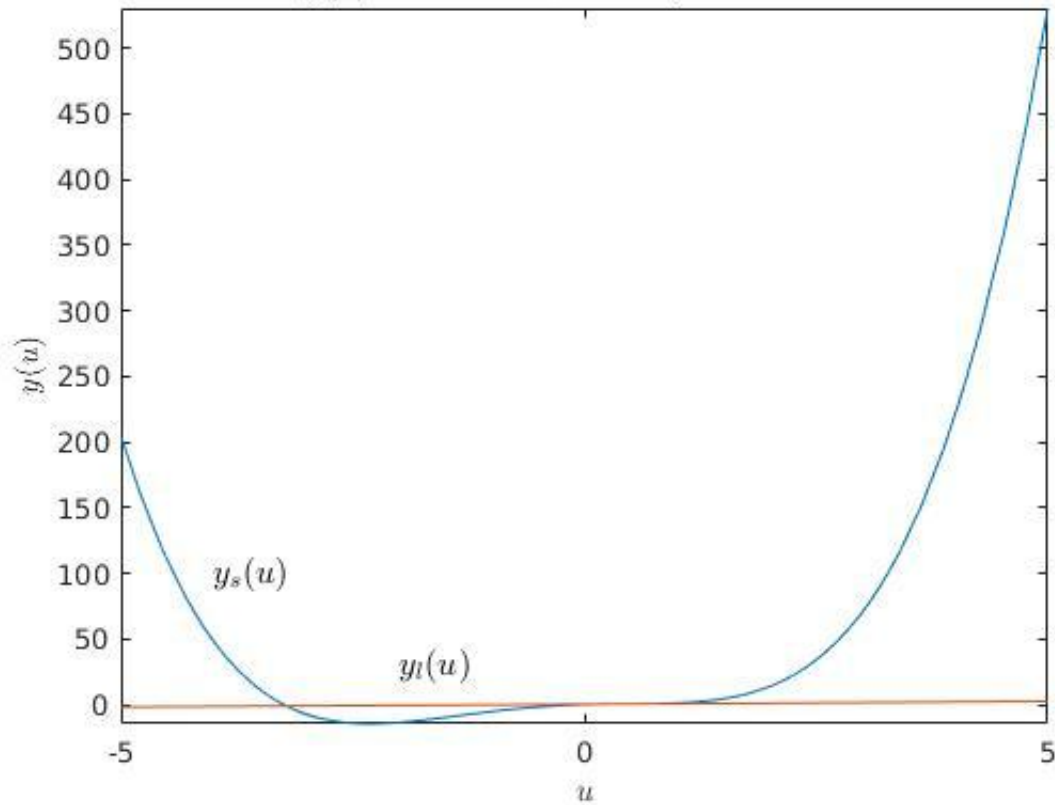
$$y_s(u) = 0.7u^4 + 1.225u^3 - 2.8u^2 + 1.96u$$

$$y_l(u) = 1.96u \text{ for } \bar{u} = 0.0$$



$$y_s(u) = 0.7u^4 + 1.225u^3 - 2.8u^2 + 1.96u$$

$$y_l(u) = 0.42875u + 0.2625 \text{ for } \bar{u} = 0.5$$



7.

Linearyzujemy dynamiczny model dyskretny:

$$x_1(k) = -\frac{T_p(T_1 + T_2)}{T_1 T_2} x_1(k-1) + x_1(k-1) + T_p x_2(k-1)$$

$$x_2(k) = -\frac{T_p}{T_1 T_2} x_1(k-1) + x_2(k-1) +$$

$$\frac{T_p K}{T_1 T_2} (\alpha_1 u(k-1) + \alpha_2 u^2(k-1) + \alpha_3 u^3(k-1) + \alpha_4 u^4(k-1))$$

$$y(k) = x_1(k)$$

W tym celu linearyzujemy element wprowadzający nieliniowość czyli wielomian sygnału sterującego:

$$f(k) = \alpha_1 u(k-1) + \alpha_2 u^2(k-1) + \alpha_3 u^3(k-1) + \alpha_4 u^4(k-1)$$

$$f(k) \approx f_l(k) = f(u^-) + \frac{df(u)}{du} \Big|_{u=u^-}$$

$$f_l(k) = \alpha_1 u^- + \alpha_2 u^{-2} + \alpha_3 u^{-3} + \alpha_4 u^{-4} + (\alpha_1 + 2\alpha_2 u^- + 3\alpha_3 u^{-2} + 4\alpha_4 u^{-3})(u(k-1) - u^-)$$

Co można zapisać ostatecznie jako:

$$x_1(k) = -\frac{T_p(T_1 + T_2)}{T_1 T_2} x_1(k-1) + x_1(k-1) + T_p x_2(k-1)$$

$$x_2(k) = -\frac{T_p}{T_1 T_2} x_1(k-1) + x_2(k-1) +$$

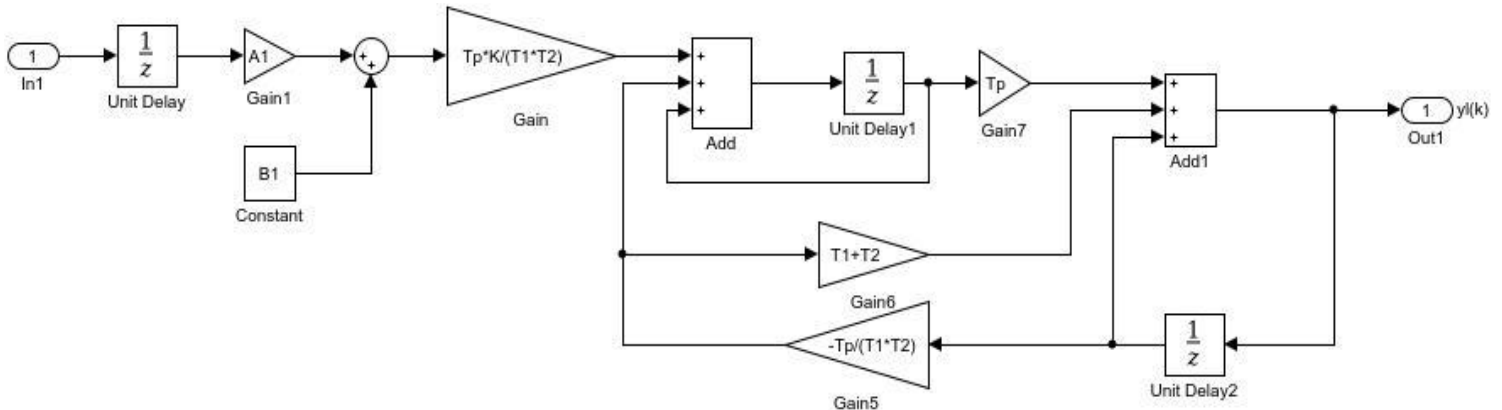
$$\frac{T_p K}{T_1 T_2} (\alpha_1 u^- + \alpha_2 u^{-2} + \alpha_3 u^{-3} + \alpha_4 u^{-4} + (\alpha_1 + 2\alpha_2 u^- + 3\alpha_3 u^{-2} + 4\alpha_4 u^{-3})(u(k-1) - u^-))$$

$$y(k) = x_1(k)$$

dla punktu linearyzacji u^- .

8.

projekt1_8;



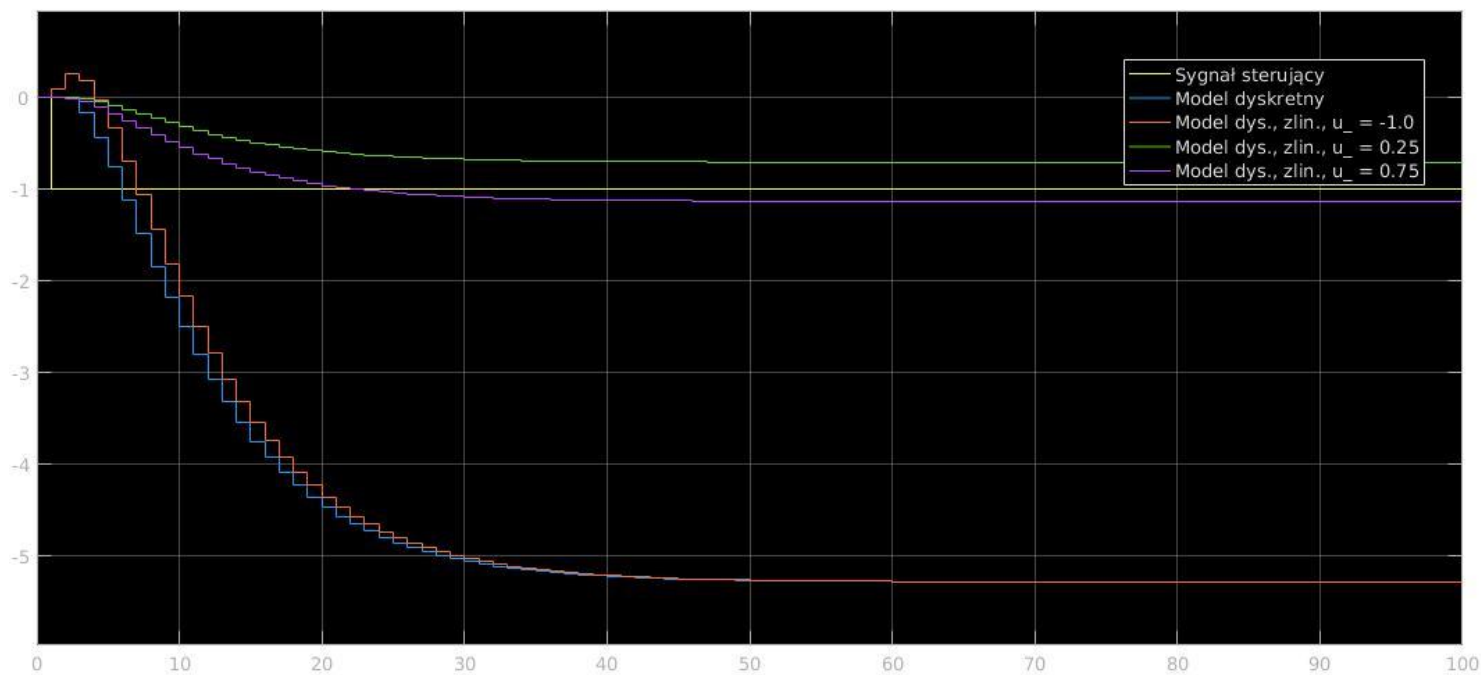
9.

Symulacje zostały przeprowadzone dla trzech różnych wartości skoku sygnału sterującego

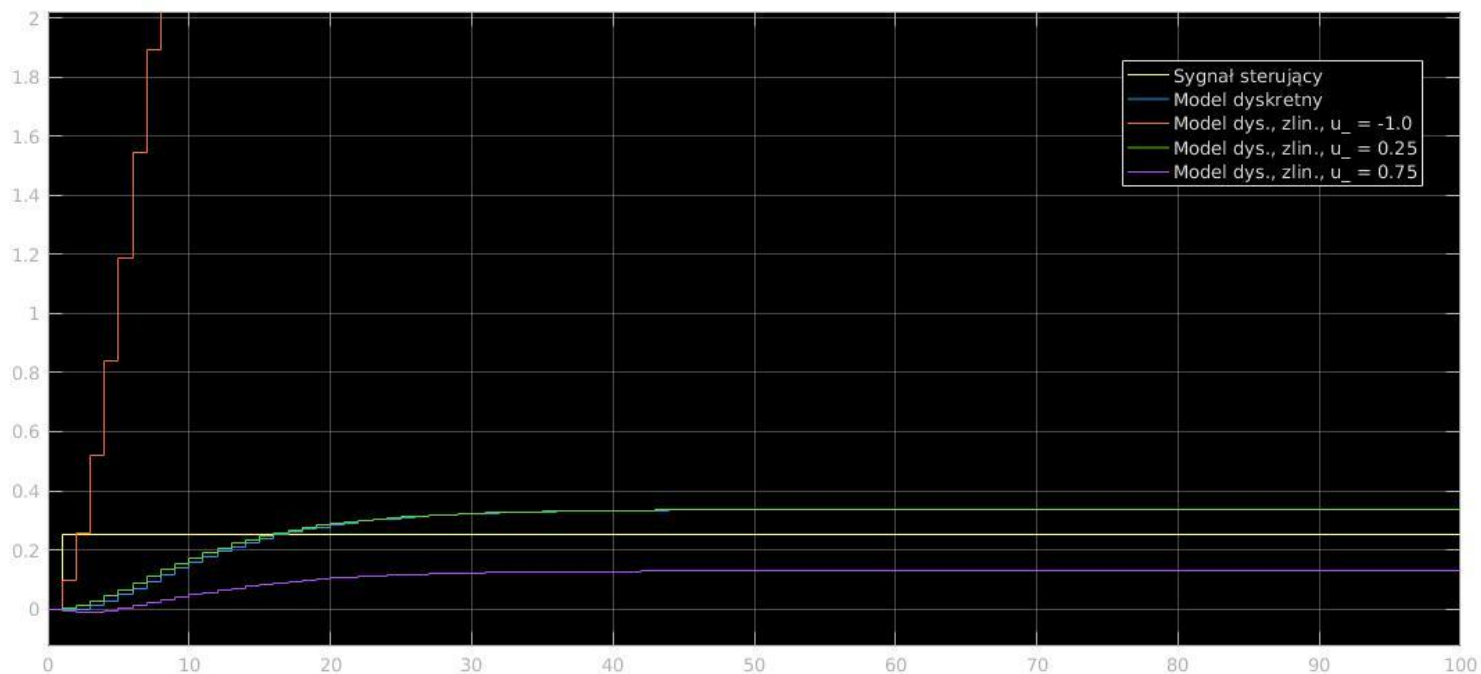
$u(1) = \{-1, 0.25, 0.75\}$ oraz dla każdej wartości skoku dla trzech różnych punktów linearyzacji
 $\bar{u} = \{-1, 0.25, 0.75\}$.

Wyniki przedstawione są kolejno dla:

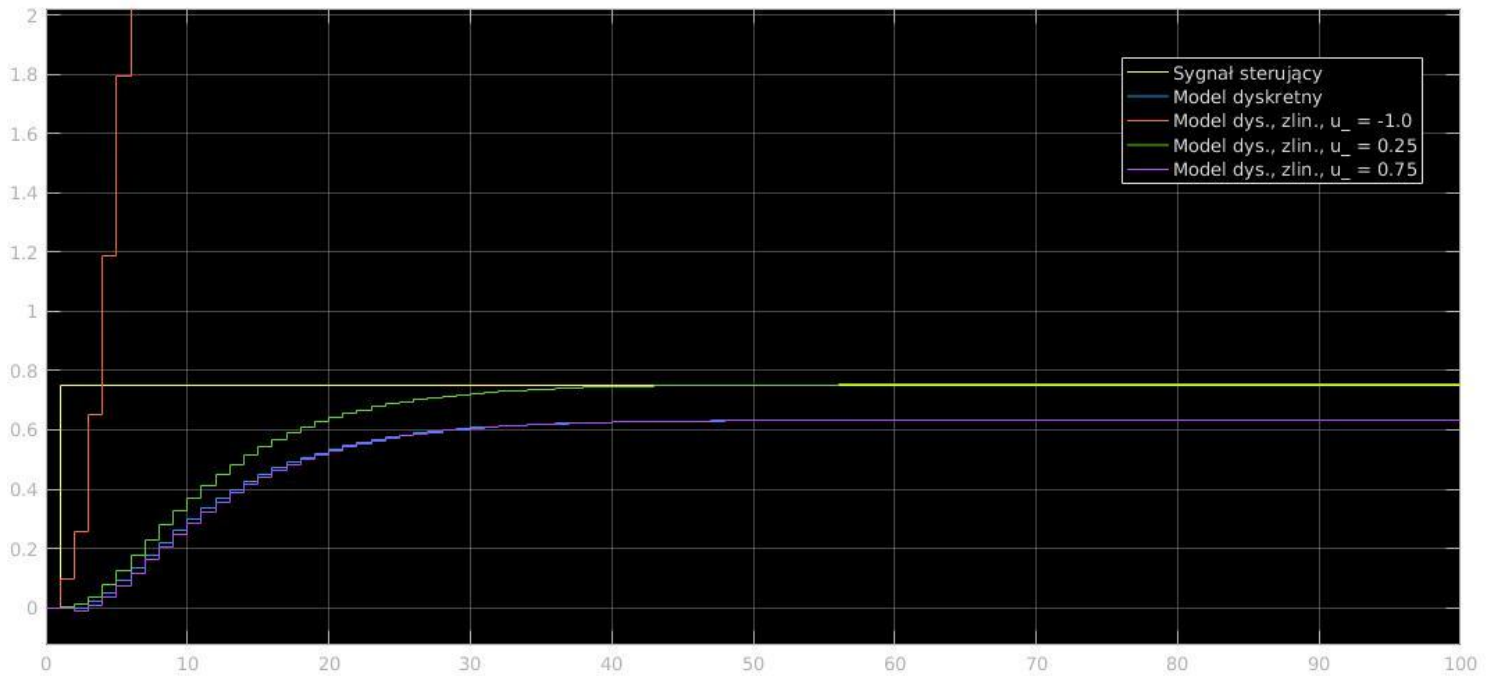
$$u(1) = -1$$



$$u(1) = 0.25$$



$$u(1) = 0.75$$



Jak widać dla punktu linearyzacji zgodnego z wartością skoku otrzymujemy bardzo zbliżoną odpowiedź, a w punktach bliskich wartości skoku odpowiedzi "podobne", jednakże dla bardziej odległych punktów widać bardzo wyraźną rozbieżność.

10.

Na początku linearyzujemy dynamiczny model ciągły:

$$\frac{dx_1(t)}{dt} = -\frac{T_1 + T_2}{T_1 T_2} x_1(t) + x_2(t)$$

$$\frac{dx_2(t)}{dt} = -\frac{1}{T_1 T_2} x_1(t) + \frac{K}{T_1 T_2} (\alpha_1 u(t) + \alpha_2 u^2(t) + \alpha_3 u^3(t) + \alpha_4 u^4(t))$$

$$y(t) = x_1(t)$$

Otrzymując:

$$\frac{dx_1(t)}{dt} = -\frac{T_1 + T_2}{T_1 T_2} x_1(t) + x_2(t)$$

$$\frac{dx_2(t)}{dt} = -\frac{1}{T_1 T_2} x_1(t) +$$

$$\frac{K}{T_1 T_2} \left(\alpha_1 \bar{u} + \alpha_2 \bar{u}^2 + \alpha_3 \bar{u}^3 + \alpha_4 \bar{u}^4 + \left(\alpha_1 + 2\alpha_2 \bar{u} + 3\alpha_3 \bar{u}^2 + 4\alpha_4 \bar{u}^3 \right) (u(t) - \bar{u}) \right)$$

$$y(t) = x_1(t)$$

Daje to odpowiednie macierze równań stanu:

$$A = \begin{bmatrix} -\frac{T_1 + T_2}{T_1 T_2} & 1 \\ -\frac{1}{T_1 T_2} & 0 \end{bmatrix} \quad B = \begin{bmatrix} 0 \\ \frac{K}{T_1 T_2} (\alpha_1 + 2\alpha_2 u^- + 3\alpha_3 u^{-2} + 4\alpha_4 u^{-3}) \end{bmatrix} \quad C = \begin{bmatrix} 1 & 0 \end{bmatrix}$$

Stąd dostajemy transmitancję:

$$G(s, u^-) = C(sI - A)^{-1}B + D$$

$$G(s, u^-) = \frac{32 \left(\frac{(7u^{-3})}{80} + \frac{147u^{-2}}{1280} - \frac{7u^-}{40} + \frac{49}{800} \right)}{32s^2 + 12s + 1}$$

$$G(s, u^-) = \frac{\frac{(14u^{-3})}{5} + \frac{147u^{-2}}{40} - \frac{28u^-}{5} + \frac{49}{25}}{32s^2 + 12s + 1}$$

Zadania dodatkowe:

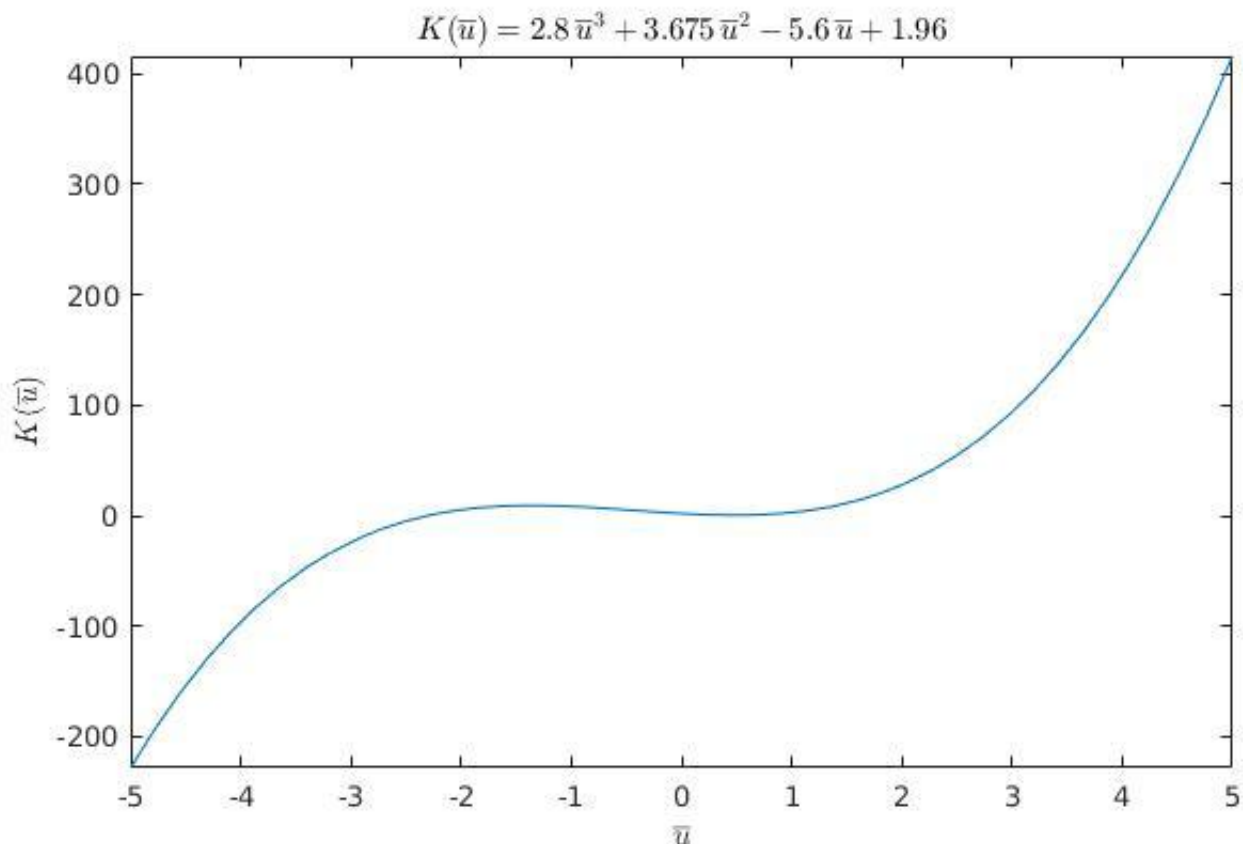
1.

Wiemy, że dla transmitancji w dziedzinie s wzmocnienie statyczne otrzymamy jako:

$$K(u^-) = \lim_{s \rightarrow 0} (G(s, u^-))$$

Co po obliczeniu daje:

$$K(u^-) = \frac{(14u^{-3})}{5} + \frac{147u^{-2}}{40} - \frac{28u^-}{5} + \frac{49}{25}$$



2.

Zauważmy, że dla wzmocnienia statycznego i wartości odczytanych z wykresu zachodzić powinna równość:

$$K(\bar{u})(u - \bar{u}) + y_s(\bar{u}) = y_l(u, \bar{u})$$

gdzie :

\bar{u} to punkt linearyzacji

u to wartość sygnału sterującego

y_l to wartość odpowiedzi statycznej układu dyskretnego zlinearyzowanego dla $t \rightarrow \infty$

y_s to wartość odpowiedzi statycznej układu dyskretnego dla $t \rightarrow \infty$

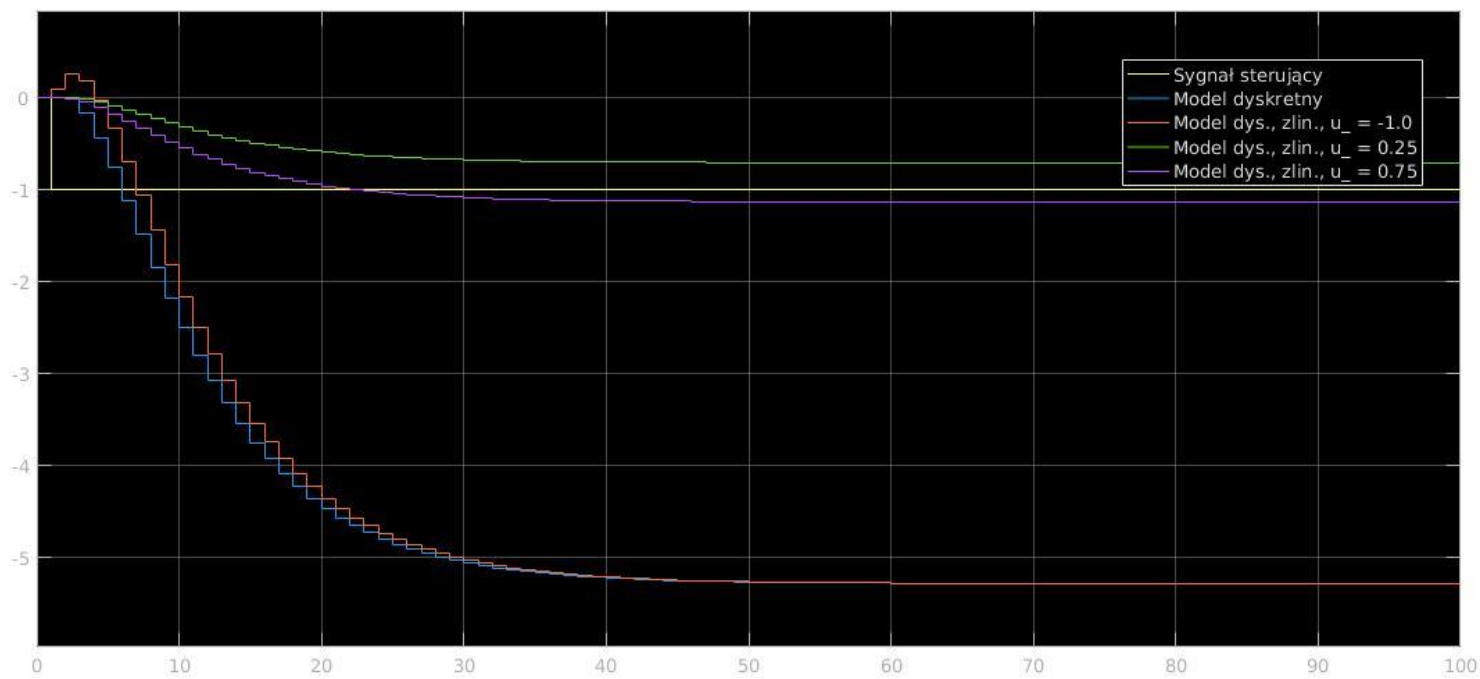
Jak widać wzmocnienie statyczne uzyskane z transmitancji różni się od wzmocnienia widocznego w

odpowiedzi (jako iloraz $\frac{y_l}{u}$), po podstawieniu i wzór pokrywa się z wzorem na transmitancję, różnica ta wynika z faktu iż transmitancja nie uwzględnia obecnej w modelu po linearyzacji stałej, inaczej mówiąc transmitancja nie uwzględnia punktu pracy, różnicę tą możemy zauważyć przy odpowiedzi modeli na sygnał o stałej wartości 0, możemy sprawdzić teraz punkty z pierwszych dwóch rysunków z podpunktu 9.

$$u(1) = -1, y_s(-1) \approx -5.285, y_l(-1, -1) \approx -5.285$$

$$y_l(-1, 0.25) \approx -0.705, y_l(-1, 0.75) \approx -1.131$$

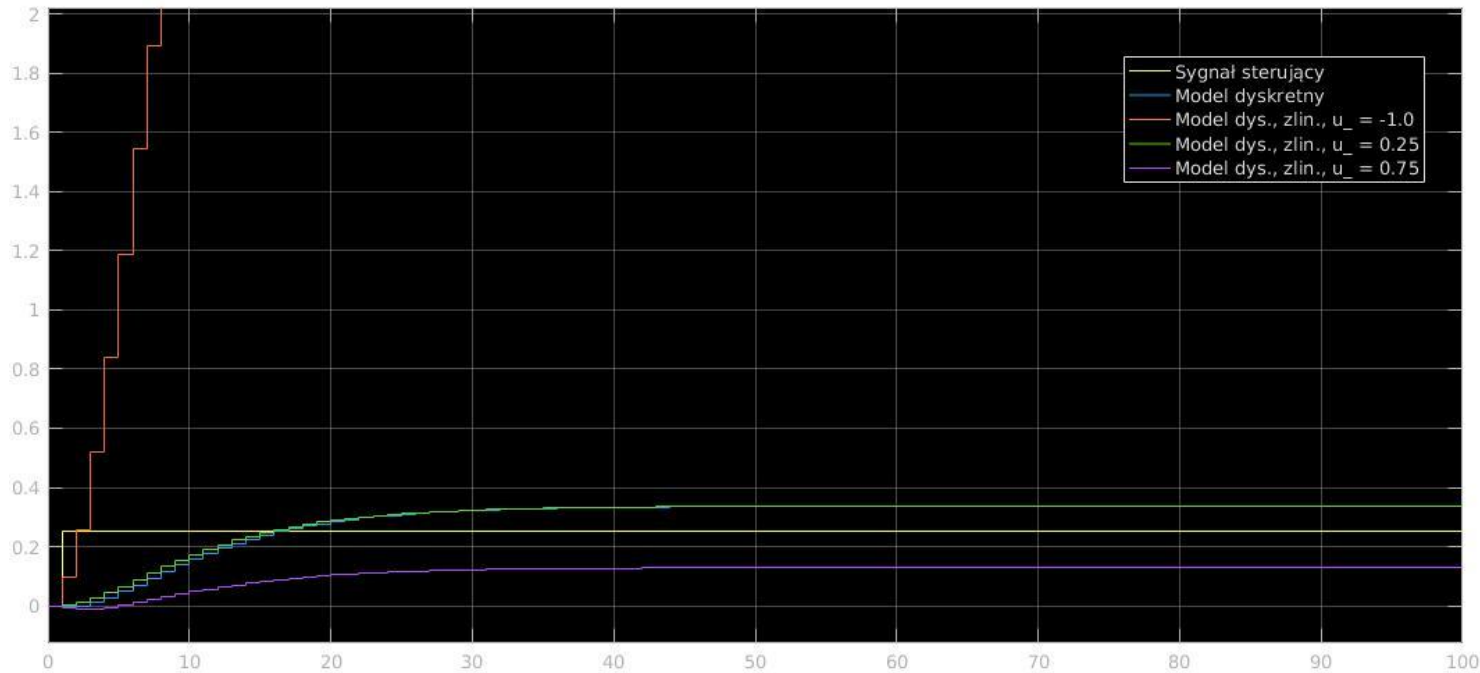
$$K(-1) \approx 8.435$$



$$u(1) = 0.25, \quad y_s(0.25) \approx 0.337, \quad y_l(0.25, -1) \approx 5.259$$

$$y_l(0.25, 0.25) \approx 0.337, \quad y_l(0.25, 0.75) \approx 0.129$$

$$K(0.25) \approx 0.833$$



$$u(t) = 0, \quad y_s(0) \approx 0.337, \quad y_l(0, -1) \approx 3.15$$

$$y_l(0, 0.25) \approx 0.129, \quad y_l(0, 0.75) \approx -0.123$$

$$K(0.25) \approx 1.96$$

